

# VERIFICHE RESISTENZIALI

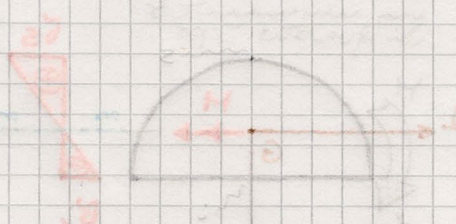
Eseguire le verifiche resistenziali delle sezioni indicate.

## Esercizio 1



$$M = 70 \text{ kN} \cdot \text{m}$$

$$R = 12 \text{ cm}$$



## Svolgimento

Essendo l'asse vettore della coppia  $M$ , parallelo ad uno degli assi principali di inerzia, allora la sezione in questione è soggetta ad una flessione retta.

### ① Determinazione del baricentro

- si inserisce un sistema di riferimento auxiliare  $(0, 1', 2')$

- calcolo del baricentro:

$$x_{1'}^G = 0 \text{ per simmetria}$$

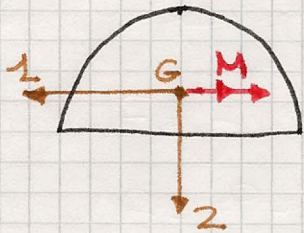
$$\begin{aligned} x_{2'}^G &= \frac{S_{1'}}{A} = \frac{1}{\frac{\pi}{2} R^2} \cdot 2 \int_0^{R \sqrt{\frac{\pi}{2}}} (-r \cos \theta) d\theta + dr \\ &= -\frac{4}{\pi R^2} \int_0^R r^2 dr \int_0^{\sqrt{\frac{\pi}{2}}} \cos \theta d\theta = \\ &= -\frac{4}{\pi R^2} \frac{R^3}{3} [\sin \theta]_0^{\sqrt{\frac{\pi}{2}}} = -\frac{4}{3\pi} R = -5,09 \text{ cm} \end{aligned}$$

### ② Calcolo dei momenti principali d'inerzia

Considerando il sistema ~~base~~ di riferimento baricentrico e principale di inerzia  $(G, 1, 2)$ , per esso si ha:

$$I_2 = I_{1'} - A d^2 = I_{1'} - \frac{\pi}{2} R^2 \left( \frac{4}{3\pi} R \right)^2$$

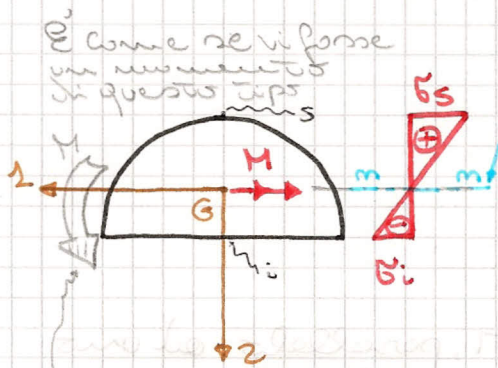
$$\begin{aligned} I_{1'} &= 2 \int_0^R \int_0^{\sqrt{\frac{\pi}{2}}} (r \cos \theta)^2 d\theta + dr = 2 \int_0^R r^3 dr \int_0^{\sqrt{\frac{\pi}{2}}} \cos^2 \theta d\theta = \\ &= 2 R^4 \left[ \frac{\theta}{2} + \frac{\sin \theta \cos \theta}{2} \right]_0^{\sqrt{\frac{\pi}{2}}} = 2 \frac{R^4}{4} \frac{\pi}{4} = \frac{\pi R^4}{8} \end{aligned}$$



$$\text{Per cui } I_2 = I_{1'} - A d^2 = \frac{\pi R^4}{8} - \frac{\pi R^2}{2} \frac{16R^2}{9\pi^2} = 2276 \text{ cm}^4$$

### ③ Calcolo delle accelerazioni

O attraverso la formula di Navier è possibile calcolare le tensioni normali all'interno e all'estremo della sezione:



asse neutro

verso opposto rispetto a quello di 1

negativo perché ha

verso opposto rispetto

a quello di 1

$$\sigma_z = \frac{M}{I_1} \times z^2 = \frac{M}{I_1} \frac{4R}{3\pi} = \frac{-70 \cdot 10^3}{2276 \cdot 10^{-8}} \cdot \frac{4 \cdot 0,12}{3\pi}$$

$$= -156 \text{ MPa}$$

$$\sigma_s = \frac{M}{I_1} \times z^3 = \frac{\pm M}{I_1} \left( -R + \frac{4R}{3\pi} \right)$$

$$= \frac{-70 \cdot 10^3}{2276 \cdot 10^{-8}} \left( -0,12 + \frac{4 \cdot 0,12}{3\pi} \right)$$

$$= 212 \text{ MPa}$$



diffini l'equazione di momento nel punto C

Si può usare la legge di Hooke per calcolare

l'accelerazione del centro di curvatura nel punto C

$$(R - z)^2 R^2 - R^2 = 2(R - z)R$$

$$R^2 - 2Rz + z^2 R^2 - R^2 = 2(R - z)R$$

$$R^2 - 2Rz + z^2 R^2 = 2(R - z)R$$

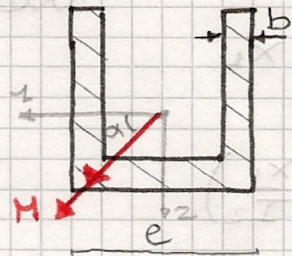
$$R^2 - 2Rz + z^2 R^2 = 2R^2 - 2Rz$$

$$R^2 - 2Rz + z^2 R^2 - 2R^2 + 2Rz = 0$$

$$R^2 - 2Rz + z^2 R^2 - 2R^2 + 2Rz = 0$$



## Esercizio 2



$$M = 50 \text{ kN}$$

$$\alpha = 45^\circ$$

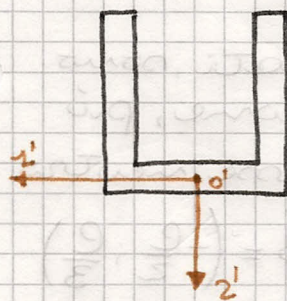
$$e = 20 \text{ cm}$$

$$b = 1 \text{ cm}$$

### Svolgimento

Essendo l'asse vettore delle coppie  $M$  non parallelo ad uno degli assi principali d'inerzia delle sezioni siamo nel caso di flessione deviata.

#### ① Determinazione del baricentro



a) Si inserisce un s. di riferimento auxiliare ( $1', 2', 0$ )

b) calcolo del baricentro:

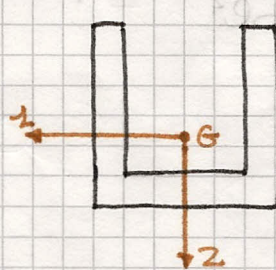
$$x_{2'}^G = 0 \text{ per simmetria}$$

TRASCRIBILE

$$x_{1'}^G = \frac{S_{1'}}{A} = \frac{1}{3eb} \left[ -2b^2 \left( \frac{e}{2} + \frac{b}{2} \right) \right] = -\frac{e}{3}$$

#### ② Calcolo dei momenti principali d'inerzia

Considerando il sistema di riferimento baricentrico e principale d'inerzia ( $G, 1, 2$ ), per esso si ha:  
(momenti d'inerzia  $I_1, I_2$  sono minori)



$$I_1 = 2 \left[ \frac{1}{12} b e^3 + b e \left( \frac{e}{6} \right)^2 \right] + \cancel{\frac{1}{12} b^3 e} + b e \left( \frac{e}{3} \right)^2$$

$$= b e^3 \left[ \frac{1}{6} + \frac{1}{18} + \frac{1}{27} \right] = \frac{7}{27} b e^3$$

$$I_2 = 2 \left[ \cancel{\frac{1}{12} e b^3} + b e \left( \frac{e}{2} \right)^2 \right] + \frac{1}{12} b e^3 = b e^3 \left[ \frac{3}{4} + \frac{1}{12} \right]$$

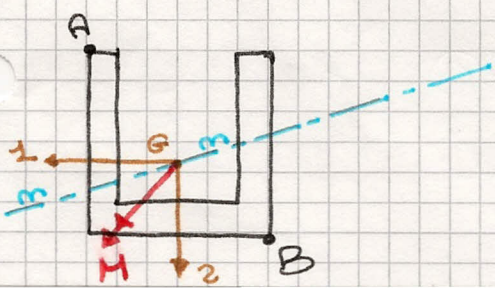
$$= \frac{7}{12} b e^3$$

#### ③ Calcolo delle sollecitazioni

a) Componenti di  $M$  nel sistema di riferimento principale.

$$M_1 = M \cos 45^\circ = M \frac{\sqrt{2}}{2}$$

$$M_2 = M \sin 45^\circ = M \frac{\sqrt{2}}{2}$$



b) Tensione normale (formula di Mohr)

$$\begin{aligned}\sigma &= \frac{M_1}{I_2} x_2 - \frac{M_2}{I_2} x_1 \\ &= M \frac{F_2}{2} \left( \frac{x_2}{I_1} - \frac{x_1}{I_2} \right)\end{aligned}$$

c) Equazione dell'asse neutro:

$$\therefore \sigma = 0 \Rightarrow x_2 = \frac{I_1}{I_2} x_1 = \frac{L}{g} x_1$$

Disegno l'asse neutro nello schema.

d) I punti + sollecitati sono quelli delle sezioni, più distanti dall'asse neutro.

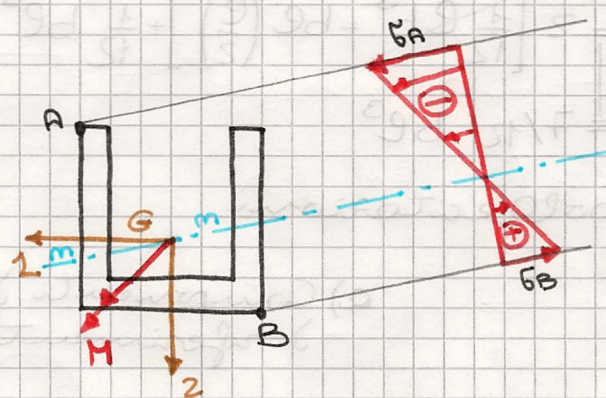
$$A = \left( \frac{L}{2}, -\frac{2}{3} \frac{L}{2} \right); B = \left( \frac{L}{2}, \frac{2}{3} \frac{L}{2} \right)$$

Le sollecitazioni su tali punti sono le seguenti:

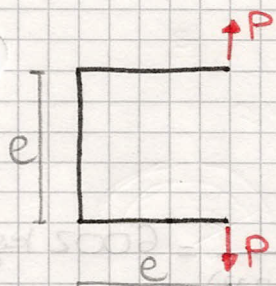
$$\sigma_A = M \frac{F_2}{2} \left( -\frac{2}{3} \frac{L}{2} \frac{27}{7bL^3} - \frac{L}{2} \frac{12}{27 \cdot 5L^3} \right) = -M \frac{F_2}{2} \frac{24}{7bL^2} = -214 \text{ MPa}$$

$$\sigma_B = M \frac{F_2}{2} \left( \frac{L}{3} \frac{27}{7bL^3} + \frac{L}{2} \frac{12}{27 \cdot 5L^3} \right) = +M \frac{F_2}{2} \frac{15}{7bL^2} = 134 \text{ MPa}$$

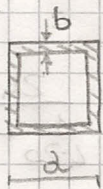
Disegnare le sollecitazioni



### Esercizio 3



struttura realizzata con tubolare a sezione quadrata:



$$d = 20 \text{ cm}$$

$$b = 1 \text{ cm}$$

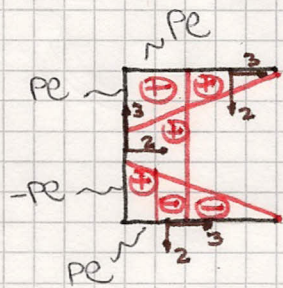
$$P_{\max} = ?$$

$$e = 2 \text{ mm}$$

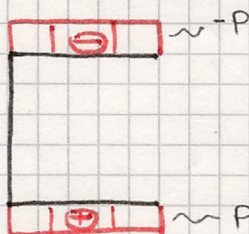
$$\sigma_{\text{teor}} = 2400 \text{ kg/cm}^2$$

### Sviluppi

Diagrammi delle caratteristiche di sollecitazione:



(M)



(T)

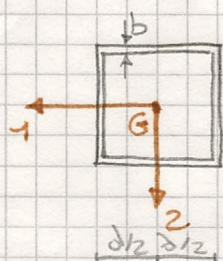


(N)

Se sezioni + sollecitazione e flessione sono quelle del tratto verticale, con:  $N = +P$

$$M = +Pe$$

Proprietà dimensionale delle sezioni:



$$A = b d$$

$$I_1 = 2 \cdot \frac{1}{12} b d^3 + 2 b d \cdot \frac{d^2}{4} = \frac{5}{6} b d^3 = \frac{2}{3} b d^3 = I_2$$

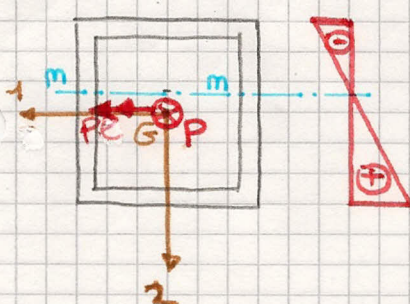
Analisi delle tensioni:

Formule di Mervier

$$\sigma = \frac{N}{A} + \frac{M}{I_1} \cdot x_2 = \frac{P}{bd} + \frac{3Pe}{2bd^3} \cdot x_2$$

Equazione dell'asse neutro:

$$\frac{P}{bd} + \frac{3Pe}{2bd^3} \cdot x_2 = 0 \Rightarrow x_2 = -\frac{1}{6} \frac{d^2}{e} = -0,33 \text{ cm}$$

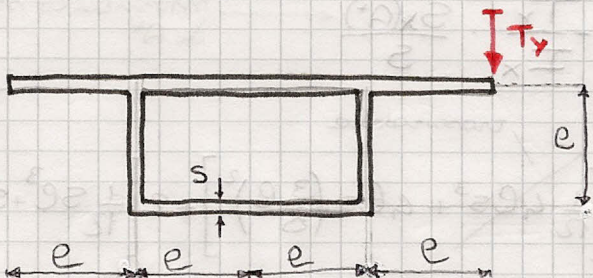


$$P = \frac{\frac{4}{r} + \frac{3}{2} \frac{e}{r} \left( \frac{e}{r} + 1 \times_{\text{all}} \right)}{\frac{4}{r} + \frac{3}{2} \frac{e}{r} \left( \frac{e}{r} + 1 \times_{\text{all}} \right)} \geq P_{\text{max}}$$

$$P = \frac{\frac{4}{r} + \frac{3}{2} \frac{e}{r} \left( \frac{e}{r} + 1 \times_{\text{all}} \right)}{\frac{4}{r} + \frac{3}{2} \frac{e}{r} \left( \frac{e}{r} + 1 \times_{\text{all}} \right)} \geq P_{\text{max}}$$

Now we can calculate the total cost per unit.

## Esercizio 6



$$T_y = 1500 \text{ kg}$$

$$P = 10 \text{ cm}$$

$$s = 1 \text{ cm}$$

$$\sigma_{max} = 2400 \text{ kg/cm}^2$$

### Svolgimento

#### ① Determinazione del baricentro.

a) Si considera un riferimento  $x, y$  centrato in  $G$

b) Individuazione del baricentro

$$x_G = 0 \text{ per simmetria}$$

$$y_G = \frac{S_x}{A} = \frac{2lSl/2 + 2le}{8sl} = \frac{3}{8}l$$

#### ② Analisi delle sollecitazioni

Sulle sezioni agiscono solo tensioni tangenziali, perché  $N=0, M_x=0, M_y=0$ .

Per calcolare le  $\tau$  si procede nel modo seguente:

a) si applica  $T_y$  sul centro di tegola (che, date le simmetrie delle sezioni, cade sull'asse  $y$ )

b) si aggiunge il momento torcente

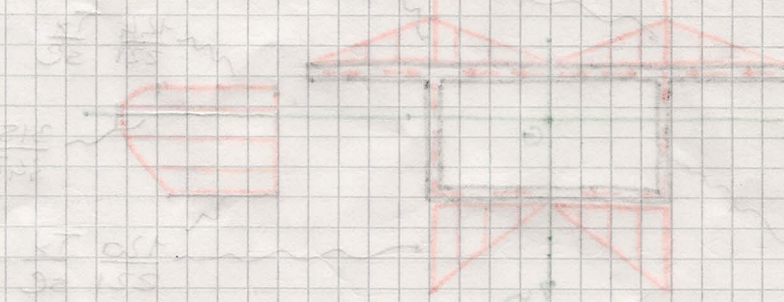
$$M_C = T_y \cdot 2l$$

Dal principio di sovrapposizione degli effetti si ha che:

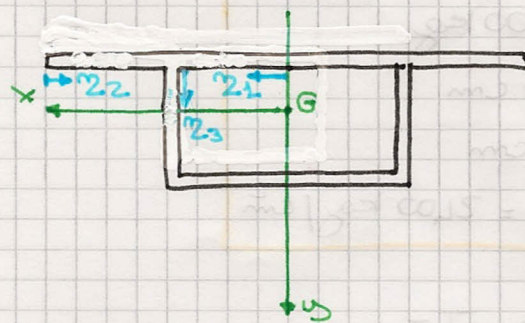
$$\tau = \tau_{TORSIONE} + \tau_{M.TORCENTE}$$

calcolate con le formule di Torsionevsky

calcolate con le formule relative alla torsione di sezioni miste.



## Calcolo delle $\tilde{\tau}_T$



FORMULA DI JOURAWSKY

$$\tilde{\tau}_T = -\frac{T_y}{I_x} \cdot \frac{S_x(A^*)}{S}$$

momento statico  
di  $A^*$

inversibile

$$I_x = \left[ \frac{1}{12} 4l^3 + 4l^2 \left( \frac{3}{8} l \right)^2 \right] + 2 \left[ \frac{1}{12} 2l^3 + 2l \left( \frac{l}{2} - \frac{3}{8} l \right)^2 \right]$$

$$+ \left[ \frac{1}{12} l^3 + 2l^2 \left( l - \frac{3}{8} l \right)^2 \right] \approx \frac{221}{192} l^3$$

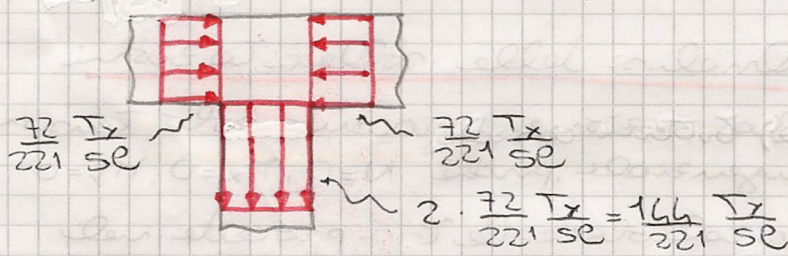
$$S_x(\tilde{\tau}_1) = -m_1 S \left( \frac{3}{8} l \right) \Rightarrow \tilde{\tau}_1^0 = -\frac{192 T_y}{221 S l^3} \left( -\frac{m_1 S}{S} \frac{3}{8} l \right) =$$

$$\begin{cases} m_1 = 0 \rightarrow \tilde{\tau}_1^0 = 0 \\ m_1 = l \rightarrow \tilde{\tau}_1^0 = \frac{72 T_y}{221 S l} \end{cases}$$

$$S_x(\tilde{\tau}_2) = -m_2 S \left( \frac{3}{8} l \right) \Rightarrow \tilde{\tau}_2^0 = -\frac{192 T_y}{221 S l^3} \left( -\frac{m_2 S}{S} \frac{3}{8} l \right) =$$

$$\begin{cases} m_2 = 0 \rightarrow \tilde{\tau}_2^0 = 0 \\ m_2 = l \rightarrow \tilde{\tau}_2^0 = \frac{72 T_y}{221 S l} \end{cases}$$

Analisi del ruoto (con l'analoga indirettiva)



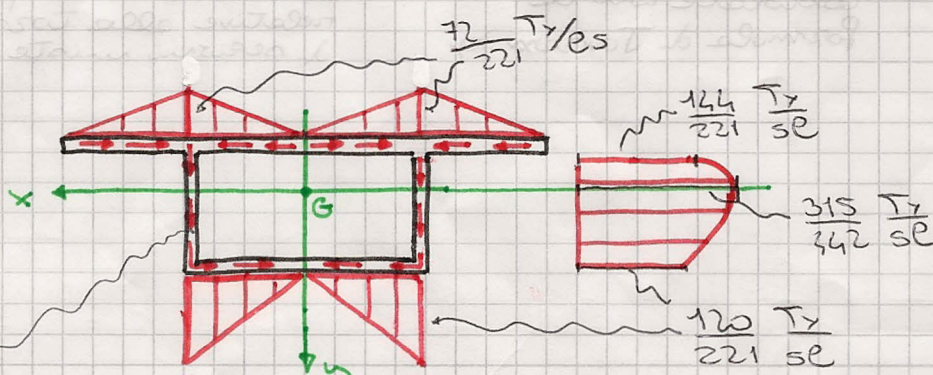
$$S_x(\tilde{\tau}_3) = -m_3 S \left( +\frac{3}{8} l - \frac{m_1}{2} \right)$$

$$\tilde{\tau}_3^0 = (\tilde{\tau}_1^0 + \tilde{\tau}_2^0) + \left[ -\frac{192 T_y}{221 S l^3} m_3 S \left( -\frac{3}{8} l + \frac{m_1}{2} \right) \right]$$

$$= \frac{144}{221} \frac{T_y}{S l} - \frac{192 T_y}{221 S l^3} m_3 \left( -\frac{3}{8} l + \frac{m_1}{2} \right) =$$

$$\begin{cases} l = \frac{3}{8} l \rightarrow \tilde{\tau}_3^0 = \frac{315}{442} \frac{T_y}{S l} \\ l = l \rightarrow \tilde{\tau}_3^0 = \frac{120}{221} \frac{T_y}{S l} \end{cases}$$

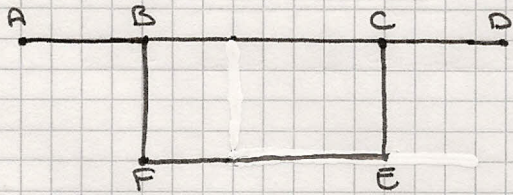
Schematizzazione delle tensioni:



Analisi dettata: dell'analoga indirettiva

## 2 Calcolo delle $\Upsilon_{MT}$

Considero la sezione meccanicamente suddivisa in due parti

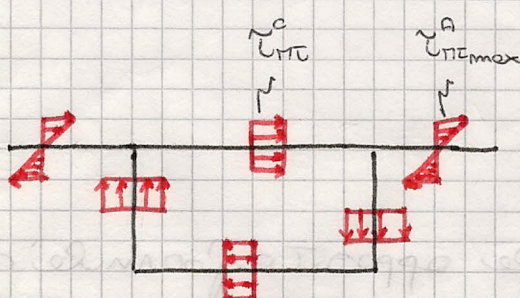


- Una parte chiusa: La sezione rettangolare BCEF, su cui agisce una tensione tangenziale  $\Upsilon_{MT}^c$  da lungo lo spessore è data dalla formula di Obreit:

$$\Upsilon_{MT}^c = \frac{M_T^c}{2A_0S}$$

( $M_T \rightarrow M_T^c$  ou) con  $A_0 = 2l^2 + \text{area racchiusa dalle fibre medie}$

$M_T^c \rightarrow$  quota di  $M_T$  assorbita dalla sezione chiusa



- Una parte aperta: le sezioni AB e CD. Su di esse agiscono delle tensioni tangenziali  $\Upsilon_T^a$  variabili linearmente lungo lo spessore e con valore massimo per la.

$$\Upsilon_{MT}^a_{max} = \frac{M_T^a S}{I_0^a}$$

$$\text{con } I_0^a = \sum \frac{1}{3} l_i b_i^3 = \frac{1}{3} 2l^3$$

\* sezioni aperte in penete rettangolari

$M_T^a \rightarrow$  quota di  $M_T$  assorbita dalla parte aperta

I momenti torcenti  $M_T^c$  e  $M_T^a$  si calcolano con il seguente sistema:

$$\begin{cases} M_T = M_T^a + M_T^c \\ \theta'_c = \theta'_a \end{cases} \quad \begin{array}{l} \rightarrow \text{la somma delle singole quote assorbite è pari al momento torcente applicato.} \\ \rightarrow \text{Equazione di congruenza: gli angoli unitari di torsione di cui notiamo nel punto Oxy le due parti aperte e chiuse devono essere uguali.} \end{array}$$

Per leggere  $\Theta_c$  e  $\Theta_a$  e  $M_c^c$  e  $M_a^a$ , rispettivamente, usiamo le eq. constitutive delle torsione per le sezioni rettangoli chiuse e aperte.

$$\Theta_c = \frac{M_c^c}{G A_0^2} \int_{BCOF} \frac{de}{S} = \frac{M_c^c}{G (2e)^2} \cdot \frac{1}{3} S e$$

$$\Theta_a = \frac{3M_a^a}{G \sum e \cdot S^3} = \frac{3M_a^a}{G 2e S^3}$$

X cui, il sistema diviene:

$$\begin{cases} M_c = M_a^a + M_c^c \\ \frac{3M_a^a}{2e S^3} = \frac{3M_c^c e}{8G e^2 S^2} \rightarrow M_a^a = \frac{S^2}{4e^2} M_c^c \quad (\text{N.B. } M_a^a \ll M_c^c) \end{cases}$$

Risolvendo il sistema si ottiene:

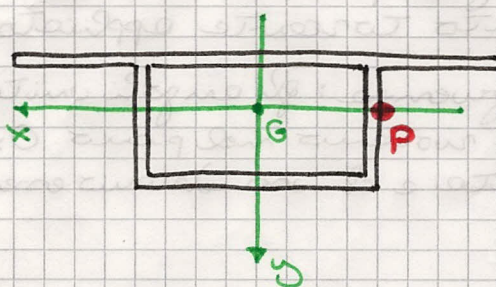
$$\begin{cases} M_c^c = \frac{Ge^2 M_a^a}{4e^2 + S^2} \\ M_a^a = \frac{S^2 M_c^c}{4e^2 + S^2} \end{cases}$$

Sostituendo i valori trovati nelle opposte formule si ricava:

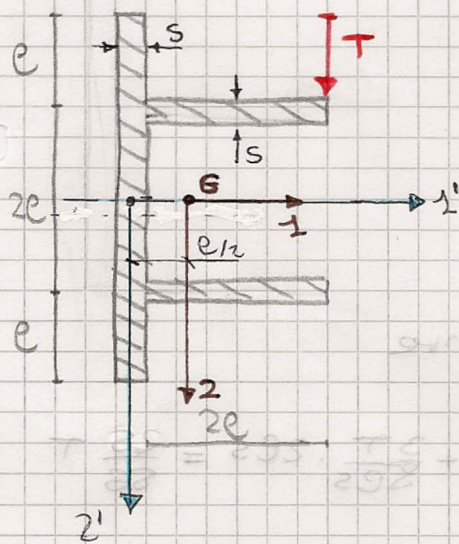
$$M_c^c = \frac{Ge^2 M_a^a}{4e^2 + S^2} \cdot \frac{1}{2S^2 e^2} = \frac{T_r 2e}{S(4e^2 + S^2)} = 75 \text{ kg/cm}^2$$

$$M_a^a \Big|_{\max} = \frac{S^2 2e T_r}{4e^2 + S^2} \cdot \frac{3S}{2e S^3} = \frac{3T_r}{(4e^2 + S^2)} = 11 \text{ kg/cm}^2$$

Verifica sul punto + resistente:



$$\text{P}) \quad b_I = \sqrt{3} \gamma = \sqrt{3} \left( \frac{315}{442} \frac{T_r}{Se} + \frac{T_r e^2}{S(4e^2 + S^2)} \right) = 31.5 \frac{\text{kg}}{\text{cm}} < 2400 \frac{\text{kg}}{\text{cm}} = b_{\text{mm}}$$



### ① DETERMINAZIONE BAROCENTRO (1, 2)

$$\begin{cases} X_{2'}^G = 0 \\ X_L^G = \frac{S_2}{A} = \frac{+4e^2s}{8es} = +\frac{e}{2} \end{cases}$$

con  $A = 4es + 2 \cdot 2es = 8es$

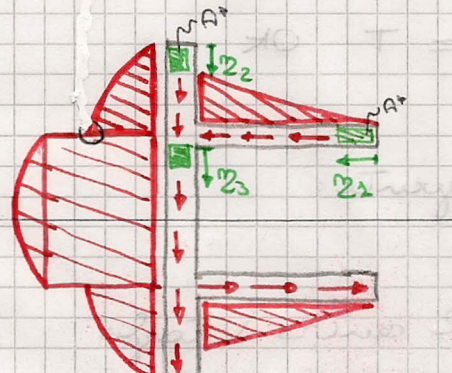
$$S_2 = +(2 \cdot 2es \cdot e) = +4e^2s$$

### ② Applicazione Joukowski

$$T_2 = -\frac{T}{I_2} \cdot \frac{S_1(A^*)}{s}$$

$$I_2 = \frac{1}{12} s (4e)^3 + \left( \frac{1}{12} 2e s^3 + 2es \cdot e^2 \right) \cdot 2 = \frac{28e^3s}{3}$$

troncato



$$[2_L] T_2 = -\frac{T}{I_2} \cdot \frac{S_1(A^*)}{s} = -\frac{T}{I_2} \cdot \frac{(-2_1 s e)}{s} = \frac{3T}{28e^3s} \cdot 2_1 e$$

CON ANDAMENTO LINEARE

$$\begin{cases} 2_1 = 0 \Rightarrow T_2 = 0 \\ 2_1 = 2l \Rightarrow T_2 = \frac{3T}{14es} \end{cases}$$

$$[2_2] T_2 = -\frac{T}{I_2} \cdot \frac{S_1(A^*)}{s} = -\frac{3T}{28e^3s} \left( \frac{-2_2 s (2e - \frac{2_2}{2})}{s} \right)$$

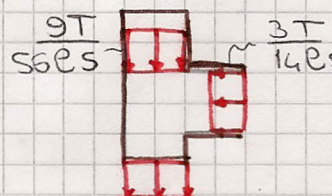
CON ANDAMENTO PARABOLICO

• area parabola:

$$T_2' = 0$$

$$\frac{d T_2}{d 2_2} = \frac{3T}{28e^3s} \cdot 2e - \frac{3T}{28e^3s} \cdot 2_2 = 0 \Rightarrow 2_2 = 2e$$

### ANALISI DEL NODO:



nell'analisi idrostatica:

$$\frac{9T}{56es} + \frac{3T}{14es} = \frac{3T}{8es}$$

$$[2_3] T_2 = -\frac{T}{I_2} \cdot \frac{S_2(A^*)}{s} = -\frac{3T}{28e^3s} \left( \frac{-2_3 s (e - \frac{2_3}{2})}{s} \right)$$

CON ANDAMENTO PARABOLICO

• area parabola

$$\frac{d T_2}{d 2_3} = 0 \Rightarrow 2_3 = e$$

$$\therefore 2_3 = e \Rightarrow T_2 = \frac{3T}{56es}$$

SE

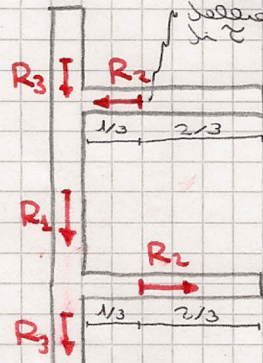
$$\begin{cases} 2_3 = 0 \Rightarrow T_2 = 0 \\ 2_3 = 2e \Rightarrow T_2 = 0 \end{cases}$$

$$\gamma_{\text{MAX}}^{\text{J}} = \frac{3}{8} \frac{T}{es} + \frac{3}{56} \frac{T}{es} = \frac{24}{56} \frac{T}{es}$$

## ANALISI DEL CENTRO DI TAGLIO

① Individuazione delle risultanti delle forze

il punto di applicazione  
è il boccaporto  
delle travi.



$$R_1 = \int_0^{2e} \frac{3T}{28e^3s} \cdot 2_3(e - \frac{2x}{2}) s dx = \frac{46}{56} T$$

$$R_2 = \int_0^{2e} \frac{3T}{28e^3s} \cdot 2_1 e s dx = \frac{3}{16} T$$

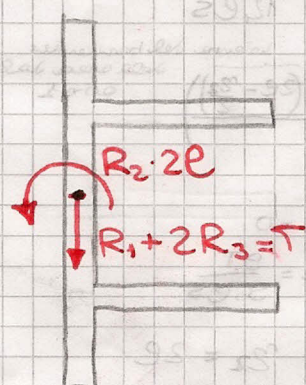
$$R_3 = \int_0^e \frac{3T}{28e^3s} \cdot 2_2 (e - \frac{x}{2}) s dx = \frac{5}{56} T$$

x vertice:

Eq. di bilancio delle forze

$$T = R_1 + 2R_3 = \frac{46}{56} T + 2 \cdot \frac{5}{56} T = T \quad \text{OK}$$

Se sistema in esame è equivalente al seguente:



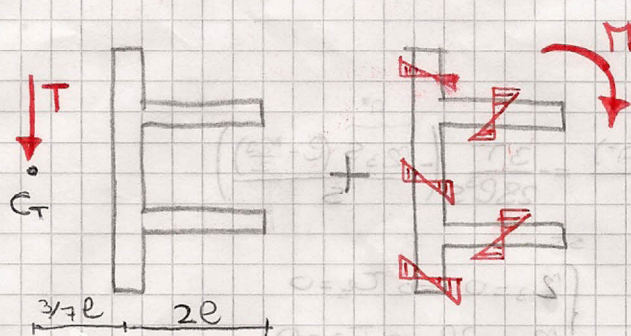
Ora occorre individuare il centro di taglio

Il centro di taglio è quel punto in corrispondenza del quale i momenti generati dalle risultanti delle  $\gamma$  si annulla.

x cui: distanza del centro di taglio

$$(R_2 + 2R_3) \cdot d = R_2 2e \Rightarrow d = \frac{R_2 2e}{R_1 + 2R_3} - \frac{3}{7} e$$

Se sistema in esame quindi si ricorda



$$MT = T(2e + d)$$

La  $\gamma$  sulla sezione destra da  $MT$  è:

$$\gamma^T = \frac{3M \cdot 5}{s^3 4e + 2s^3 2e}$$

La tensione totale è definita come:

$$\gamma_{\text{tot}} = \gamma^{\text{J}} + \gamma^T \leq \gamma_{\text{ADM}}$$